

## بررسی ارتباط بین پارامترهای مهم ابر و بارش روزانه در ایران

### چکیده

مطالعه پارامترهای آب و هوایی به علت نقشی که در مباحث تغییر اقلیم و بهبود کارایی مدل‌های اقلیمی و پیش‌بینی بارش دارند، از اهمیت ویژه‌ای در دنیا برخوردارند. در این میان، مطالعه ابرها به علت اینکه حد واسطه بین سامانه‌های همدیدی و شرایط اقلیمی سطح زمین هستند، از اهمیت ویژه‌ای برخوردارند و هرگونه تغییر در پارامترهای آنها می‌تواند سرآغاز زنجیره‌ای از واکنش‌ها در دیگر عناصر آب و هوایی گردد. به دلیل این اهمیت، در این پژوهش ارتباط چهار پارامتر مهم ابر؛ یعنی دمای قله ابر<sup>۱</sup>، فشار قله ابر<sup>۲</sup>، عمق نوری ابر<sup>۳</sup> و مقدار ذرات آب و یخ ابر<sup>۴</sup> در محدوده کشور ایران با بارش روزانه مطالعه شد. برای این هدف از اطلاعات ایستگاه‌های همدید و سنجنده مودیس برای کل دوره موجود آن (۲۰۰۰ تا ۲۰۱۱) استفاده شد و با استفاده از مدل‌های رگرسیون خطی، غیرخطی و همچنین، مدل رگرسیون چند متغیره، ارتباط بین این پارامترها با بارش بررسی گردید.

در ابتدا با همپوشانی چند لایه اطلاعاتی بارش و ابر در محیط ArcGIS کشور به چهار پهنه مشترک بارش و ابر تقسیم گردید و این پهنه‌ها مبنای برآورد ارتباط بین بارش و پارامترهای ابر قرار گرفتند. نتایج نشان داد که دمای قله ابر بین ۲۰ تا ۳۹ درصد از تغییرات بارش در پهنه‌ها را تبیین نموده و یا به عبارت دیگر توضیح می‌دهند. این مقدار برای فشار قله ابر ۲۰ تا ۳۷ درصد، مقدار ذرات آب و یخ ابر ۲۱ تا ۳۱ درصد و عمق نوری ابر ۱۹ تا ۳۱ درصد به دست آمد. با اعمال مدل رگرسیون چند متغیره، نتایج نشان داد که در پهنه ۳ این چهار پارامتر ابر می‌توانند حدود ۵۰ درصد تغییرات بارش را پیش‌بینی کنند. این مقدار در پهنه ۲ حدود ۴۰ درصد و برای دو پهنه دیگر حدود ۳۰ درصد به دست آمد.

برای حذف همخطی شدید و همچنین، رسیدن به متغیرهای اصلی، از روش رگرسیون گام به گام نیز استفاده شد که نتایج آن نشان داد در پهنه‌های ۱ و ۴ پارامتر مقدار آب و یخ ابر، در پهنه ۳ دمای قله و عمق نوری ابر و در پهنه ۲ فشار قله و مقدار آب و یخ ابر مؤثرترین پارامترهای مدل‌ها هستند.

**واژه‌های کلیدی:** پارامترهای ابر، بارش روزانه، ایران

## ۴۰۵ مقدمه

ابرها از دیرباز مورد توجه محققان آب و هواشناسی بوده‌اند، ولی به دلیل اینکه برخلاف دیگر عناصر و پدیده‌های آب و هوایی اندازه‌گیری و سنجش آنها بسیار مشکل است تا چند ده قبلاً پژوهش‌های زیادی بر روی آنها انجام نگرفته بود. پس از ورود ماهواره‌ها به عرصه علم، به علت فراهم شدن اطلاعات فراوانی در مورد ابرها، مطالعه آنها برای بهبود کارایی مدل‌های اقلیمی مورد توجه قرار گرفت. ماهواره‌ها قادرند خصوصیات فیزیکی و اقلیمی ابرها مانند: ضخامت، توسعه افقی، محتوای آب، دما، فشار و اندازه قطره‌های آب را با دقت اندازه‌گیری کنند. این توانایی به باز شدن زمینه‌های تحقیقاتی جدیدی در مطالعه ابرها منجر شد و پژوهشگران زیادی تحقیقات خود را بر روی این زمینه متمرکز کردند.

هرگونه تغییر در اقلیم می‌تواند سرآغاز زنجیره‌ای از واکنش‌ها باشد که اثر آن به صورت مستقیم در فرآیندهای هیدرولوژیک ظاهر می‌شود (علیزاده، ۱۳۸۶). بنابراین، مطالعه ابرها از این نظر حائز اهمیت است که آنها در راس چرخه آب قرار دارند و تغییرات آنها به ایجاد تغییر در مقدار زمانی و مکانی بسیاری از پارامترهای آب و هوایی بویژه بارش منجر خواهد شد. با جدی شدن بحث تغییر اقلیم در دنیا، مطالعه پارامترها و عناصر آب و هوایی به صورت گسترشده ای مورد توجه قرار گرفت. در این میان، ابرها و پارامترهای اقلیمی وابسته به آنها نیز به عنوان ورودی‌های مهم در مدل‌های پیش‌بینی اقلیم، مورد توجه قرار گرفتند (Hack<sup>۵</sup> و همکاران، ۲۰۰۶؛ Field<sup>۶</sup> و همکاران، ۲۰۰۸؛ Hong<sup>۷</sup> و همکاران، ۲۰۰۹؛ Lohmann<sup>۸</sup> و همکاران، ۲۰۱۰).

به یقین کشورهایی که از مطالعات بهروز در زمینه آب و هواعقب بمانند، در آینده نزدیک در مباحثی مانند: تامین منابع آب و امنیت غذایی با مشکلات زیادی مواجه خواهند شد. به همین دلیل، بسیاری از مطالعات انجام شده در دنیا در این زمینه؛ حتی جزو مطالعات راهبردی کشورهای پیشرفته محسوب می‌گردند (Schlesinger<sup>۹</sup> و همکاران، ۲۰۰۷).

با توجه به اهمیت ابرها در تغییرات آب و هوای مطالعه و بررسی ارتباط پارامترهای آنها مانند: دما و فشار ابر، مقدار ذرات آب و یخ و ... با شرایط اقلیمی سطح زمین مورد توجه بسیاری از محققان در دنیاست. این پارامترها به عنوان شاخص‌های استاندارد مطالعه ابرها در دنیا ارائه شده‌اند. بررسی ارتباط پارامترهای یاد شده با بارش نقش قابل توجهی در بهبود مدل‌های بارش و همچنین، مدل‌های تغییر اقلیم دارد. بسیاری از پژوهشگران در دنیا به بررسی آنها پرداخته‌اند که برای نمونه به برخی از آنها اشاره می‌گردد:

آرکین و میسنر<sup>۱۰</sup> (۱۹۸۷) و آدلر و نیگری<sup>۱۱</sup> (۱۹۸۸) بیان کردند که مقدار بارش را می‌توان به وسیله داده‌های مرئی - مادون قرمز قله ابر<sup>۱۲</sup> برآورد نمود. زینگ<sup>۱۳</sup> (۱۹۹۹) ارتباط بین دمای قله ابر و محتوای بخار آب ابر را با بارش منطقه

---

-Hack  
-Field  
-Hong  
-Lohmann  
-Schlesinger  
-Arkin and Meisner  
-Adler and Negri  
-Cloud- Top Visible/Infrared (VIS/IR) data  
-Zeng

حارة مطالعه و الگوریتمی برای آن ارائه نمود. وی عنوان می کند که ارتباط بین این پارامترها می تواند به ارزیابی مدل های بارش کمک کند.

هاوز<sup>۱۴</sup> (۱۹۹۳) نشان داد که تاثیر ابرها بر روی تابش های خورشیدی (انعکاس این تابش ها) و زمینی (اثر گلخانه ای)، به برخی پارامترهای آنها مانند: ارتفاع، ضخامت، توسعه افقی، تغییرات افقی، محتوای آب، فاز (مایع و یخ) و اندازه قطره ها و کریستال ها بستگی دارد. همزفیلد<sup>۱۵</sup> و همکاران (۲۰۰۳) مدلی برای بررسی ارتباط مقدار ذرات آب و یخ در ابر با عمق نوری ابر در طول موج مرئی ارائه نمودند.

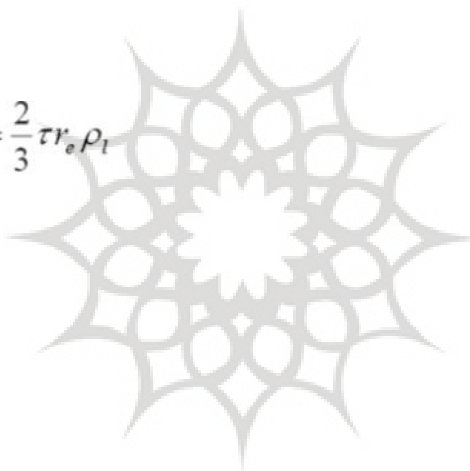
بیریترن<sup>۱۶</sup> و همکاران (۲۰۰۴) ارتباط بین مقدار بارش مناطق حارة ای را برای یک دوره چهارساله با استفاده از تصاویر ماهواره ای SSM/I با مقدار ذرات آب موجود در ابر بررسی و یک مدل نمایی برای آن ارائه نمودند. آسکلسن<sup>۱۷</sup> (۲۰۰۷) در تحقیقی از دمای قله ابر استخراج شده از تصاویر ماهواره ای برای برآورد مقدار بارندگی و برف استفاده کرد. وی با اشاره به محدودیت و خطاهای استفاده از داده های ایستگاه های زمینی و رادار استفاده از تصاویر ماهواره ای را برای بهبود برآورد بارش ها توصیه می کند.

هانا<sup>۱۸</sup> و همکاران (۲۰۰۸) نقش دمای قله ابر را در بارش برف، باران و باران یخ زده برای شناخت بهتر از فرآیند میکروسکوپی آنها در ابر برای زمستان های ۲۰۰۳ و ۲۰۰۴ بررسی کردند. آنها نشان دادند حداقل بارش برف سبک زمانی است که دمای قله ابر نزدیک ۱۶- درجه سانتی گراد باشد. پیشینه بارش برف سنگین و باران نیز یکی در دمای قله ابر ۱۶- و دیگری بین ۳۵- تا ۵۰- درجه سانتیگراد اتفاق می افتد.

در ایران از بین پارامترهای ابر بیشتر آب قابل بارش مطالعه شده است. برای نمونه، نجفی (۱۳۸۳) با هدف محاسبه حداقل بارش محتمل ایستگاه اصفهان در ماه اوت سال ۱۹۹۵، حداقل آب قابل بارش ابر در این ایستگاه را محاسبه نمود و نشان داد که متوسط مقدار آب قابل بارش در این ایستگاه  $5/23$  میلی متر است. صادقی حسینی و همکاران (۱۳۸۴) در پژوهشی با محاسبه آب قابل بارش ابر به روش ترمودینامیکی از روی نمودارهای هواشناختی Skew-T و مقایسه آن با بارش اندازه گیری شده در ایستگاه های زمینی منطقه تهران، رابطه ای برای پیش بینی کمی بارش بر اساس آب قابل بارش ابر ارائه نمودند. پورباقر و همکاران (۱۳۸۶) برای استخراج آب قابل بارش ابر در ایستگاه مهرآباد از باندهای فروسرخ نزدیک تصاویر سنجنده مودیس استفاده کردند. آنها کل آب قابل بارش در مسیر سنجنده را با اجرای الگوریتم باند فروسرخ نزدیک مودیس در شرایط مختلف جوی محاسبه نمودند و نشان دادند که باندهای ۱۸ و ۱۹ مودیس، برای استخراج آب قابل بارش در این ایستگاه مناسبند.

با توجه به اینکه پارامترهای دیگر ابر در کشور کمتر مطالعه شده اند، در این پژوهش سعی گردید ارتباط برخی از پارامترهای مهم مربوط به ابر مانند: دما و فشار قله ابر، عمق نوری ابر و مقدار ذرات آب و یخ ابر با مقدار بارش روزانه

$$WP = \frac{2}{3} \tau r_e \rho_l$$



پژوهشگاه علوم انسانی و مطالعات فرهنگی  
برگال جامع علوم انسانی

همچنین، از مقادیر بارش استخراج شده از ماهواره TRMM نیز برای دوره آماری ۲۰۰۰ تا ۲۰۱۱ استفاده شد. این ماهواره در سال ۱۹۹۷ به فضای پرتاب شد و دارای پنج سنجنده است که سه سنجنده آن مربوط به اندازه‌گیری بارش هستند ( حاجی میر رحیمی، ۱۳۸۶).

برای انجام این تحقیق، ابتدا کشور به چند پنهنه تقسیم گردید. با توجه به اینکه هدف این مطالعه بررسی ارتباط پارامترهای ابر با مقدار بارش روزانه در کل کشور بود، کشور بر اساس پنهنه های مشترک بین مقدار پوشش ابر و بارش به چند منطقه تقسیم گردید. هدف از انجام این کار، به دست آوردن روزهای مشترک بارش در هر پنهنه است. با توجه به اینکه الگوهای همدیدی و منابع تامین بارش در مناطق مختلف کشور متفاوت است، به دست آوردن روزهای مشترک همراه با بارش در کل کشور بسیار بعيد است. با تقسیم کشور به چند پنهنه، می‌توان روزهای مشترک همراه با بارش در هر پنهنه را به دست آورد.

برای به دست آوردن پنهنه های مشترک مقدار بارش و پوشش ابر، چندین لایه اطلاعاتی در نرم افزار ArcGIS همپوشانی<sup>۲۱</sup> شدند. در این فرآیند لایه های مقدار بارش ایستگاههای زمینی و بارش استخراج شده از ماهواره TRMM، مقدار پوشش ابر ایستگاه های همدید زمینی و مقدار پوشش ابر استخراج شده از تصاویر ماهواره مودیس استفاده شدند. پنهنه های مقدار ابر که با روش خوش بندی به دست آمده است (قاسمی، ۱۳۹۱) به همراه دیگر لایه ها اطلاعاتی به تصاویر رستی تبدیل و در محیط نرم افزار ArcGIS همپوشانی شدند. برای همپوشانی از روش "Weighted Sum" استفاده شد. این روش از روش های همپوشانی تصاویر رستی است که وزن داده شده به هر لایه به کل کلاس های آن لایه به طور یکسان تعلق می گیرد. لایه ها در وزن داده شده ضرب شده، سپس با هم جمع می گردند. با توجه به اینکه هدف از این کار به دست آوردن پنهنه های مشترک ابر و بارش بود، وزن لایه های بارش و ابر به صورت یکسان و هر کدام ۵۰ درصد داده شده است. وزن های داده شده بر روی هر پیکسل از تصاویر رستی ورودی با استفاده از رابطه <sup>۳</sup> اعمال و متغیر خروجی به صورت پنهنه های تلفیق یافته از این لایه های ارائه می شود.

$$J = \sum_{i=1}^k S_i W_i \quad (3)$$

که در آن  $S$  ارزش لایه ها،  $W$  وزن هر لایه،  $k$  تعداد لایه ها و  $J$  ارزش نقشه خروجی است.  
برای به دست آوردن روزهای بارش در هر پنهنه، در این تحقیق روزی که حداقل ۷۰ درصد ایستگاههای موجود در یک پنهنه در آن روز بارش دریافت کرده باشد، روز بارش در نظر گرفته شد. این درصد در مطالعات مختلف متفاوت است؛ برای نمونه، کیوتل و پاوز<sup>۲۲</sup> (۱۹۹۸) این مقدار را ۵۰ درصد، ماهیراس<sup>۲۳</sup> و همکاران (۱۹۹۹) بین ۶۰ تا ۷۰ درصد، رسولی (۱۳۸۷) و ۲۰۰۴<sup>۲۴</sup> حداقل ۴۰ درصد و تسویلی و زنگویل<sup>۲۵</sup> (۲۰۰۵) نیز این مقدار را حداقل ۲۰ درصد در نظر گرفته اند.

هرچه این درصد بیشتر باشد، نشان می‌دهد بخش بیشتری از منطقه، بارش دریافت کرده و نتایج حاصله نیز قابل اطمینان تر خواهند بود.

در مرحله آخر ارتباط بین مقدار بارش روزانه (در روزهای به دست آمده به عنوان روزهای مشترک بارش) با چهار پارامتر ابر ذکر شده (استخراج شده از تصاویر سنجنده مودیس) در هر پهنه با استفاده از مدل‌های رگرسیون خطی یا غیر خطی، مدل رگرسیون چند متغیره و گام به گام مدل سازی گردید. این مدل‌ها در بررسی داده‌های آب و هوایی کاربرد وسیعی دارند. بسیاری از محققان داخلی و خارجی از این روش‌ها استفاده نموده‌اند، مانند: عساکره<sup>۱۳۸۳</sup>؛ یاراحمدی و عزیزی<sup>۱۳۸۶</sup>؛ رحمانی و همکاران<sup>۱۳۸۷</sup>؛ ایران نژاد و همکاران<sup>۱۳۸۸</sup>؛ کریجف<sup>۲۰۰۲</sup>،<sup>۲۰۰۴</sup> همسفیلد<sup>۲۶</sup> و همکاران<sup>۲۰۰۳</sup>؛ قاسمی و خلیلی<sup>۲۰۰۸</sup>؛ استیفنسن<sup>۷</sup> و همکاران<sup>۲۰۰۸</sup> و گوچیس<sup>۲۸</sup> و همکاران<sup>۲۰۰۹</sup>. روابط مربوط به این مدل‌ها در بسیاری از مقالات و کتب ارائه شده است (فرشادفر، ۱۳۸۱؛ بازرگان لاری، ۱۳۸۵؛ جباری، ۱۳۸۵) که به منظور جلوگیری از افزایش حجم مقاله از ارائه آنها خودداری می‌شود.

### ارزیابی نتایج مدل‌ها

یک مدل در شرایطی می‌تواند ارتباط منطقی بین متغیرها ایجاد کند که علاوه بر بالا بودن ضریب تعیین ( $R^2$ )<sup>-۱</sup> باقیمانده‌های مدل (خطاهای) دارای توزیع نرمال با میانگین خطای<sup>۲۹</sup> (MAE) صفر باشد؛<sup>-۲</sup> مانده‌ها دارای واریانس یکسان باشند و<sup>-۳</sup> باقیمانده‌های مدل دو به دو ناهمبسته (مستقل) باشد (فرشادفر، ۱۳۸۱).

برای بررسی نرمال بودن مانده‌ها، روش‌های متعدد آماری و گرافیکی وجود دارد. در این تحقیق نمودار احتمال باقیمانده‌های استاندارد مدل رسم و سازگاری و انطباق آن با یک خط مستقیم بررسی گردید. همچنین این انطباق با آزمون نکویی برآش اندرسون-دارلینگ نیز بررسی شد. هرچه نقاط به دست آمده بهتر بر روی یک خط منطبق گردند، داده‌ها به نرمال نزدیکتر خواهند بود. برای بررسی یکسان بودن واریانس مانده‌ها نیز از نمودار مانده‌ها در برابر مقادیر پیش‌بینی شده استفاده شد. اگر نقاط این نمودار از شکل خاصی تبعیت نکنند و در اطراف محور  $y=0$  پراکنده باشند، می‌توان نتیجه گرفت که واریانس مانده‌ها تقریباً یکسان هستند (بازرگان لاری، ۱۳۸۵). استقلال مانده‌ها نیز با استفاده از آزمون دوربین-واتسون بررسی شد. این آزمون از روش‌های شناخته شده برای بررسی استقلال باقیمانده‌های مدل است (فرشادفر، ۱۳۸۱). مقدار ضریب دوربین-واتسون به وسیله مقادیر استخراج شده از جدول مربوطه، آزمون می‌گردد. تمامی آزمون‌های ذکر شده در محیط نرم افزارهای SPSS و MINITAB انجام گرفت.

### یافته‌های پژوهش

#### الف) پهنه‌های مشترک مقدار پوشش ابر و بارش

با همپوشانی لایه‌های اطلاعاتی بارش و مقدار پوشش ابر مطابق توضیحات بخش داده‌ها و روش‌ها، کشور به چهار

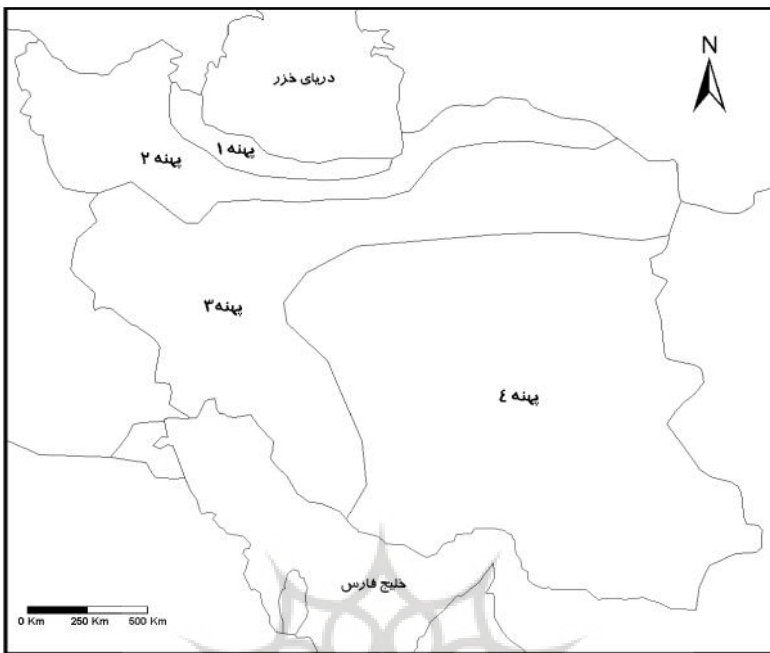
-Kryjov

-Heymsfield

-Stephenson

-Gochis

29-Mean Absolute Error



پژوهشکاو علوم انسانی و مطالعات فرهنگی  
پرستال جامع علوم انسانی

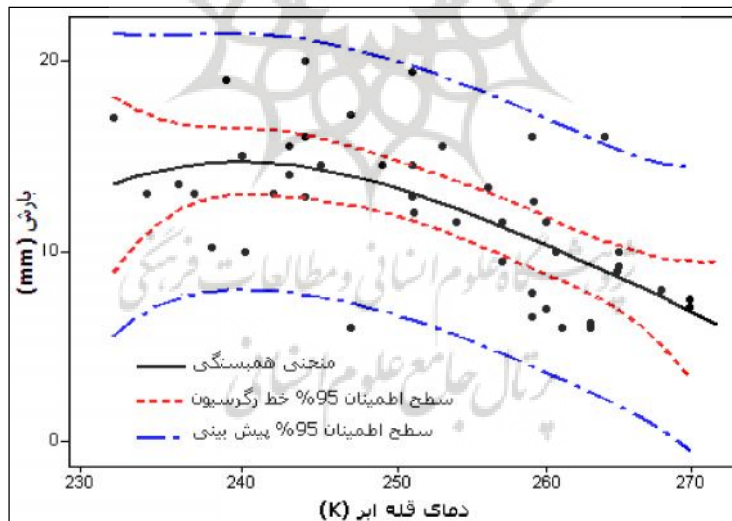
شماره پهنه

	CTT	CTP	COD	CWIP
۱	** -۰/۳۶۲	* -۰/۲۶۱	** ./۴۷۹	** ./۵۲۵
۲	** -۰/۴۴۶	** -۰/۴۴۶	* ./۳۴۷	** ./۵۲۱
۳	** -۰/۵۸۳	** ./۵۶۴-	** ./۵۵۳	** ./۵۳۹
۴	* -۰/۴۴۹	* -۰/۴۳۹	* ./۴۲۶	* ./۴۶۳

همان‌طور که این جدول نشان می‌دهد، در همه پهنه‌ها بین بارش با دما و فشار قله ابر، رابطه غیر مستقیم (معکوس) و معنی‌دار و با عمق نوری ابر و مقدار ذرات آب و یخ ابر رابطه مستقیم و معنی‌دار وجود دارد. به عبارت دیگر، با کاهش دما و فشار قله ابر و افزایش مقدار عمق نوری و مقدار ذرات آب و یخ، مقدار بارش نیز در پهنه‌ها افزایش یافته است. با توجه به اینکه مقادیر همبستگی در پهنه ۳ بیشتر از دیگر پهنه‌های هاست، مدل سازی ارتباط بین بارش و پارامترهای ابر در این پهنه به صورت کامل ارائه و نتایج پهنه‌های دیگر به صورت جدول ارائه می‌گردد.

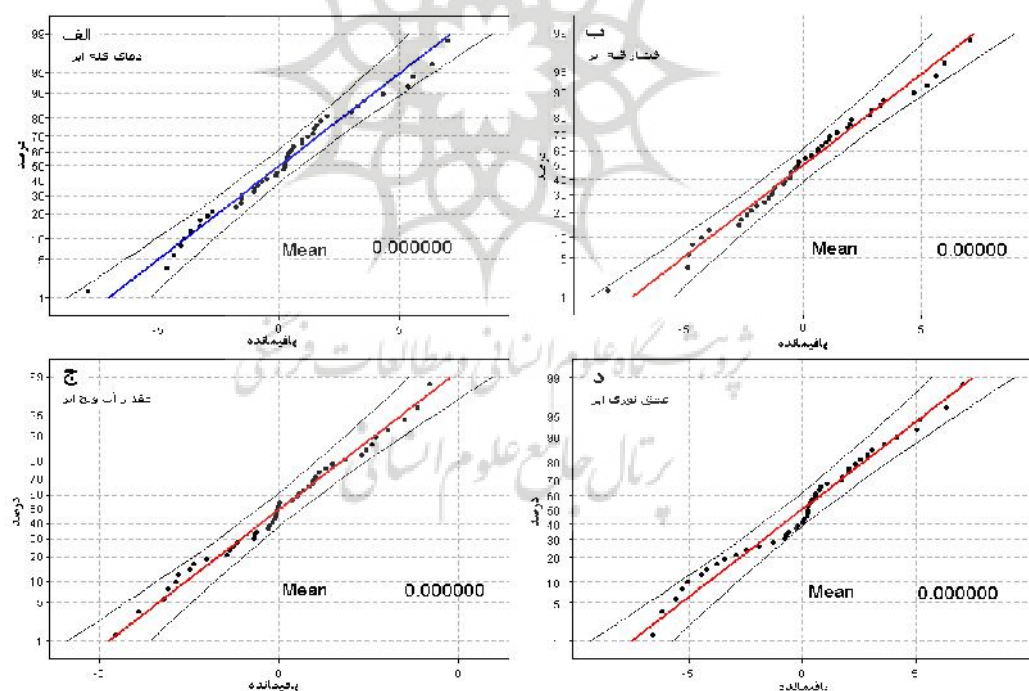
شایان ذکر است جدول ۱ تنها به این منظور ارائه گردید که مشخص شود در کدام یک از پهنه‌ها احتمال به دست آوردن مدل‌های قویتر وجود دارد. بنابراین، این جدول تنها برای به دست آوردن یک دید کلی از مسأله است و تحلیل و تفسیرها بر روی مدل‌های اصلی برازش داده شده در قسمت‌های بعد انجام می‌گردد.

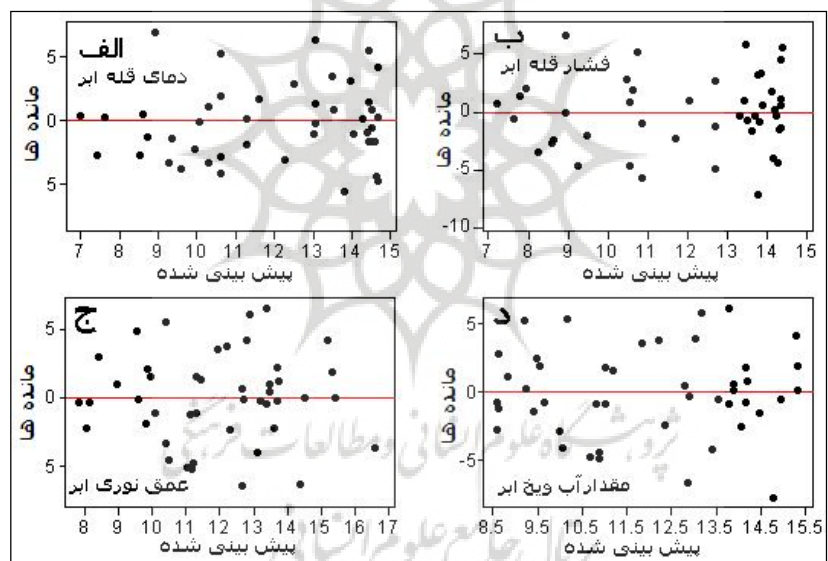
شکل ۲ ارتباط بین مقادیر بارش و دمای قله ابر را برای روزهای بارش در پهنه ۳ نشان می‌دهد. بهترین مدل برازش داده شده با بالاترین ضریب تعیین و کمترین خطای مدل درجه سه است. ضریب تعیین برای این مدل ۰/۳۹ بوده (جدول ۲)؛ به عبارت دیگر ۳۹ درصد از تغییرات بارش در پهنه ۳ به وسیله تغییرات دمای قله ابر توجیه می‌گردد. مقدار ضریب F (آزمون معنی‌داری مدل) نیز معادل ۸/۴ به دست آمده که در سطح معنی‌داری ۰/۰۰۱ معنی‌دار است. بنابراین، می‌توان گفت که مدل رگرسیون برازش داده برای برآورد مقدار بارش بر اساس دمای قله ابر در پهنه شماره ۳ مناسب بوده است.

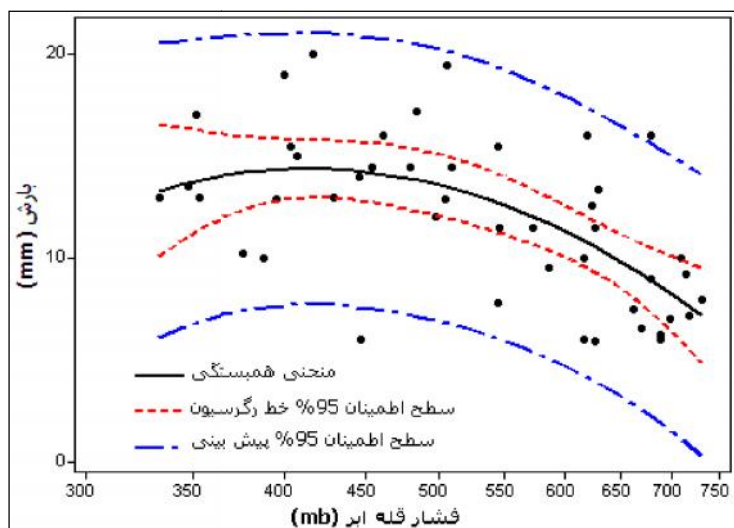


شکل ۲) ارتباط بین مقادیر بارش و دمای قله ابر برای روزهای بارش در پهنه ۳

پارامتر	مدل	ضریب تعیین میزانگین خطاهای	p-value	اندروسن-دارلینگ	p-value	F	F	ضریب دورین-واتسون
لگاریتمی درجه ۳	CTT	۰/۳۹	۰/۰۰۰	۰/۶۱۲	** ۰/۰۰۰	۸/۴	۲/۲	۰/۶۱۲
لگاریتمی درجه ۲	CTP	۰/۳۷۰	۰/۰۰۰	۰/۵۰۶	** ۰/۰۰۰	۱۲/۰	۲/۲	۰/۵۰۶
درجه ۳	CWIP	۰/۳۱۰	۰/۰۰۰	۰/۴۷۵	** ۰/۰۰۲	۶/۱	۲/۱	۰/۴۷۵
خطی	COD	۰/۳۱۰	۰/۰۰۰	۰/۷۳۳	** ۰/۰۰۰	۱۸/۹	۲/۱	۰/۷۳۳





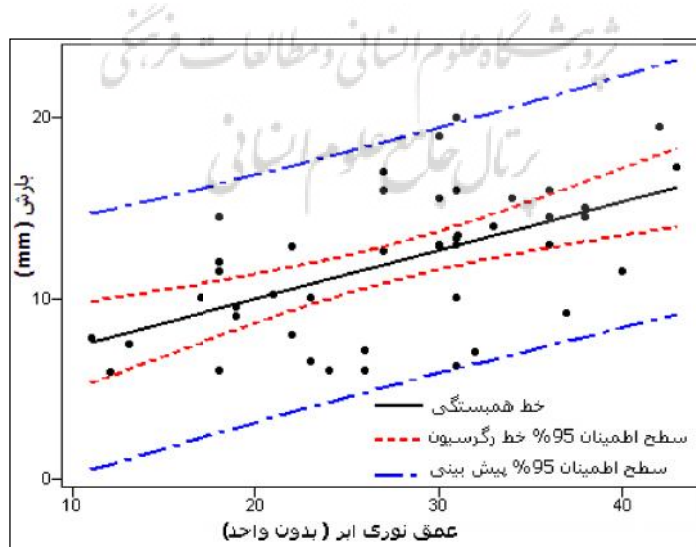


شکل ۵) ارتباط بین مقادیر بارش و فشار قله ابر (mb) برای روزهای بارش در پهنه ۳

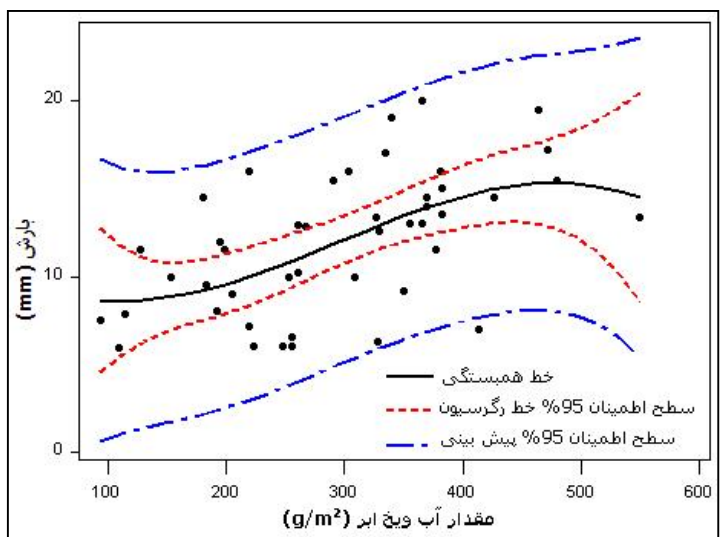
بهترین مدل بیان کننده ارتباط بین مقدار بارش با عمق نوری ابر (شکل ۶) یک مدل خطی و با مقدار ذرات آب و یخ (شکل ۷) یک مدل درجه ۳ به دست آمد. این دو پارامتر هر کدام حدود ۳۱ درصد از تغییرات بارش در پهنه ۳ را توجیه می کنند (جدول ۲). نتایج ارزیابی مدل نیز مطابق جدول ۲ و شکل های ۳ و ۴ ج و د مناسب و تایید کننده کارایی مدل های برازش داده شده بر متغیرهاست. دو مدل برازش داده شده برای عمق نوری ابر و مقدار ذرات آب و یخ ابر به ترتیب مطابق روابط ۶ و ۷ هستند.

$$P = 4.63 + 0.267 \text{ COD} \quad (6)$$

$$P = 10.8 - 0.04 \text{ CWP} + 0.0002 \text{ CWP}^2 - \text{CWP}^3 \quad (7)$$



شکل ۶) ارتباط بین مقادیر بارش و عمق نوری ابر برای روزهای بارش در پهنه ۳



پژوهشکاه علوم انسانی و مطالعات فرهنگی  
پرستال جامع علوم انسانی

بهترین مدل ها برای روزهای بارش مشترک در فصل زمستان به دست آمد که شرایط مربوط به مانده های مدل در آن صدق می کند. مدل های به دست آمده برای چهار پارامتر ابر مطابق زیر هستند:

$$P = 544.697 - 220.907 \log(CTT) \quad ۸)$$

$$P = 91.0181 - 28.1265 \log(CTP) \quad ۹)$$

$$P = 52.8052 - 78.3770 \log(COD) + 34.4019 \log(COD)^{**2} \quad ۱۰)$$

$$P = -96.1053 + 159.619 \log(CWP) - 82.8780 \log(CWP)^{**2} + 14.5172 \log(CWP)^{**3} \quad ۱۱)$$

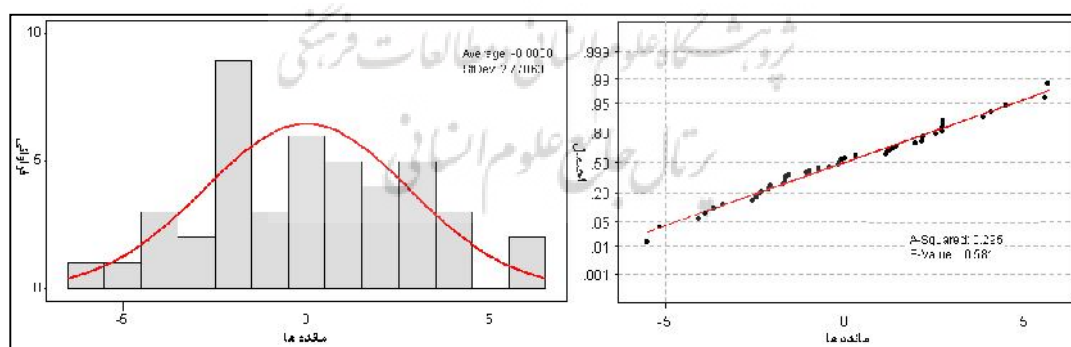
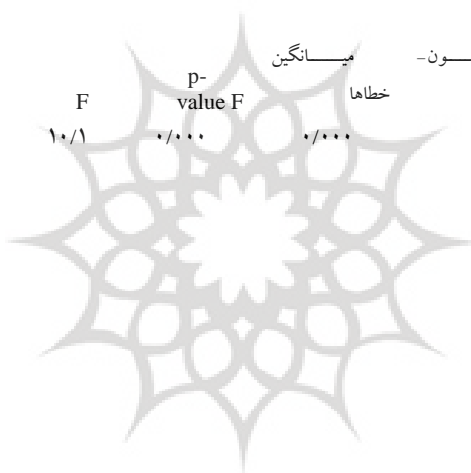
جدول (۳) بهترین مدل های به دست آمده برای پهنه های ۱، ۲ و ۴ به همراه نتایج آزمون های آماری

پهنه	پارامتر	بهترین مدل بازش داده شده	درصد ضریب تعیین	F	p-value F	p-value اندرسون-دارلینگ	ضریب دوربین-واتسون
۱	CTT	P=401.4-160.4 log(CTT)	۱۴	۱۳/۶	۰/۰۰۰	**	۱/۵
۱	CTP	P=83.5-24.7 log(CTP)	۸	۷/۳	۰/۰۰۸	**	۱/۵
۲	CWIP	P=-19.6+13.9 log(CWP)	۲۵	۲۸/۳	۰/۰۰۲	**	۱/۶
۲	COD	P=-8.5+15.9 log(COD)	۱۸	۱۸/۸	۰/۰۰۵	**	۱/۶
۳	CTT	P=-1051798+1324281log(CTT) 5557log(CTT) <sup>2</sup> +77724log(CTT) <sup>3</sup>	۳۱	۶/۴	۰/۰۰۱	**	۱/۸
۳	CTP	P=-14378.1+16384log(CTP)- 6207log(CTP) <sup>2</sup> +782.3log(CTP) <sup>3</sup>	۳۳	۶/۹	۰/۰۰۱	**	۱/۸
۴	CWIP	P=-316.7+435.6 log(CWP)- 195.3log(CWP) <sup>2</sup> +29.2log(CWP) <sup>3</sup>	۳۱	۶/۵	۰/۰۰۱	**	۱/۸
۴	COD	P= 4.87 + 0.09COD	۱۲	۶/۳	۰/۰۱۶	*	۱/۵
۱	CTT	P= 248.1- 99.8 log(CTT)	۲۰	۱/۲	۰/۰۲۰	*	۲/۳
۱	CTP	P= 58.9- 18.7 log(CTP)	۲۰	۶/۰	۰/۰۲۲	*	۲/۳
۲	CWIP	P= -18.1+ 11.1 log(CWP)	۲۱	۶/۴	۰/۰۱۸	*	۲/۱
۲	COD	P= 2.38+ 0.237 COD	۱۹	۵/۴	۰/۰۲۷	*	۲/۱

\* معنی دار در سطح ۰/۰۵ \* معنی دار در سطح ۰/۰۱

مقدار حد بحرانی دوربین-واتسون در سطح معنی داری ۹۹ درصد برای پهنه ۱/۵، پهنه ۲-۱/۴ و پهنه ۴-۱/۳

ضریب همبستگی	ضریب تعیین	F	p-value F	میانگین خطاهای اندرسون	دارلینگ	دورین-واتسون	ضریب
۰/۷۰۹	۰/۵۰۳	۱۰/۱	۰/۰۰۰	۰/۰۰۰	۰/۵۴۶	۲/۲	



بر همین اساس، برای پهنه های دیگر نیز مدل های رگرسیون چند متغیره زیر به دست آمد (جدول ۵) که کارایی آنها برای برآورد مقدار بارش در هر پهنه نیز بر اساس نتایج آزمون های ارائه شده در جدول ۵ مورد تایید است. البته، فرض نرمال بودن مانده ها در پهنه شماره ۱ تایید نشد. در این پهنه بهترین مدل برای فصل زمستان به دست آمد که مطابق رابطه ۱۳ است. در این مدل ضریب تعیین  $59/2$  درصد، مقدار p-value آزمون اندرسون-دارلینگ  $0/70$  و ضریب دوربین-واتسون نیز معادل  $1/83$  به دست آمد که نشان دهنده کارایی مناسب و بالای مدل هستند. قابل ذکر است که نرمال بودن مانده ها در تمامی مدل های ارائه شده در مقاله، با روش ناپارامتری K.S نیز بررسی گردید که نتایج حاصله، نتایج آزمون اندرسون-دارلینگ را تایید کردند.

$$P = 73.8 - 0.303 \text{ CTT} + 0.0163 \text{ CTP} + 0.001 \text{ COD} + 0.0188 \text{ CWIP} \quad (13)$$

جدول ۵) مدل های به دست آمده برای پهنه های ۱، ۲ و ۴ به همراه نتایج آزمون های آماری

پهنه	مدل رگرسیون چند متغیره	ضریب تعیین	درصد	F	p-value F	p-value اندرسون-دارلینگ	ضریب دوربین-واتسون
۱	$P=30.4 - 0.0977 \text{ CTT} + 0.00457 \text{ CTP} - 0.0181 \text{ COD} + 0.0194 \text{ CWIP}$	۰/۲۸	۸/۱۹	** $,/000$	۰/۰۰	۱/۶	
۲	$P= - 30.5 + 0.19 \text{ CTT} - 0.03 \text{ CTP} + 0.0439 \text{ COD} + 0.00917 \text{ CWIP}$	۰/۳۹	۶/۹۳	** $,/000$	۰/۴۶۳	۱/۷	
۴	$P= 29.8 - 0.094 \text{ CTT} - 0.0035 \text{ CTP} + 0.144 \text{ COD} + 0.0032 \text{ CWIP}$	۰/۲۹	۲/۲۴	* $,/09$	۰/۲۵۲	۲/۲	

\* معنی دار در سطح  $0/05$  \*\* معنی دار در سطح  $0/01$

مقدار حد بحرانی در سطح معنی داری  $99$  درصد برای پهنه ۱،  $1/61$ ، پهنه ۲،  $1/54$  و پهنه ۴،  $1/51$

### مدل رگرسیون گام به گام

برای اطمینان از عدم همخطی شدید در مدل ها، آزمون تورم واریانس انجام گردید. نتایج این آزمون نشان داد که برای برخی متغیرها، مقدار تورم واریانس بیشتر از  $10$  است که موجب تاثیر نامطلوب بر روی ضریب تعیین مدل ها می گردد. یکی از روش های حذف همخطی، حذف متغیرهای مستقلی است که دارای همبستگی درونی بالا هستند (فرشادر، ۱۳۸۱). برای این منظور و همچنین برای رسیدن به متغیرهای اصلی و تأثیرگذار در مدل های رگرسیون چند متغیره، از روش رگرسیون گام به گام استفاده شد که نتایج آن در جدول ۶ ارائه شده است.

با استفاده از این روش برای پهنه شماره  $۳$  دو متغیر دمای قله ابر و عمق نوری ابر وارد مدل می شوند. در این حالت، مقدار ضریب تعیین نسبت به حالت رگرسیون چند متغیره از  $۴7$  به  $۵۰$  درصد کاهش می یابد. به عبارت دیگر، ورود دو متغیر حذف شده؛ یعنی فشار قله و مقدار آب و یخ ابر تنها  $۳$  درصد مقدار ضریب تعیین را افزایش می دهد. متغیر فشار قله ابر به علت همبستگی بالا ( $0/۹۷$ ) با دمای قله ابر و مقدار آب و یخ ابر به علت همبستگی بالا ( $0/۹۰$ ) با عمق نوری ابر توسط روش گام به گام حذف شده اند. البته، همبستگی این متغیرها از لحظه فیزیکی نیز قابل توجیه است. زیر دمای فشار و تغییرات عمق نوری با تغییرات مقدار آب و یخ ابر دارای رابطه ساختاری هستند و به نوعی منعکس کننده

یکدیگرند، زیرا کاهش فشار قله ابر به معنی افزایش ارتفاع ابر است که این افزایش ارتفاع از سطح زمین در تروپسفر همراه با کاهش دماست. عمق نوری ابر نیز بیان کننده مقدار تضعیف نور در هنگام عبور از عمق ابر بر اثر جذب و پراکنش به وسیله ذرات آب و یخ ابر است. به عبارت دیگر، هرچه عمق نوری ابر بیشتر باشد، به معنی وجود مقدار بیشتر ذرات آب و یخ در ابر است.

تحلیل گام به گام برای پهنه ۲، دو متغیر فشار قله ابر و مقدار آب و یخ ابر را به مدل وارد کرد که مقدار ضریب تعیین معادل ۳۴ درصد به دست آمد. این مقدار ۵ درصد از حالتی که تمام متغیرها وارد مدل شوند، کمتر است. در پهنه های شماره ۴ تنها متغیر مقدار آب و یخ ابر وارد مدل شده است که ضریب تعیین آن ۲۱ درصد است، ولی در حالت باقیمانده های مدل نرمال نیستند. بنابراین، نمی توان این مدل را پذیرفت، در حالی که با ورود کل متغیرها، باقیمانده ها نرمال و ضریب تعیین نیز بیشتر است. در پهنه شماره ۱ نیز مانند پهنه شماره ۴ تنها متغیر مقدار آب و یخ ابر وارد مدل شده با ضریب تعیین ۵۳ درصد، در حالی که با ورود تمام متغیرها در این پهنه با حفظ شرایط آماری مناسب برای باقیمانده های مدل، مقدار ضریب تعیین به  $59/2$  درصد افزایش می یابد. در این پهنه برای هیچ یک از متغیرها مقدار ضریب تورم واریانس بیشتر از ۵ نیست. به عبارت دیگر، در این پهنه مقدار همخطی شدید نیست و می توان ضریب تعیین رگرسیون چند متغیره را نیز پذیرفت.

جدول ۶) مشخصات مدل های رگرسیون گام به گام برای پهنه ها به همراه نتایج آزمون های آماری

ضریب دوربین-واتسون	p-value اندرسون-دارلینگ	p-value F	F	درصد ضریب تعیین	متغیر های ورودی به مدل	پهنه
۲/۰۱	۰/۶۴۸	۰/۰۰۰ **	۴۸/۴	۵۳	CWIP	۱
۱/۶۳	۰/۱۰۶	۰/۰۰۰ **	۱۱/۵	۳۴	CWIP و CTP	۲
۲/۲۴	۰/۷۹۹	۰/۰۰۰ **	۱۸/۳	۴۷	COD و CTT	۳
۲/۱۳	۰/۰۰۴	۰/۰۲۰ *	۶/۸	۲۱	CWIP	۴

\* معنی دار در سطح ۰/۰۵ \* معنی دار در سطح ۰/۰۱

### نتیجه گیری

مطالعه پارامترهای آب و هوایی به علت نقشی که در مباحث تغییر اقلیم و مدل های اقلیمی و پیش‌بینی بارش دارند، از اهمیت ویژه ای در دنیا برخوردارند. در این میان، ابرها و پارامترهای مربوط به آنها به عنوان یک پدیده پیچیده آب و هوایی در سال های اخیر بیشتر مورد توجه محققان در دنیا قرار گرفته‌اند.

به دلیل این اهمیت، در این پژوهش ارتباط چهار پارامتر مهم آبر؛ یعنی دما و فشار قله آبر، عمق نوری آبر و مقدار ذرات آب و یخ آبر در محدوده کشور ایران با بارش مطالعه شد. برای این هدف، علاوه بر اطلاعات ایستگاه‌های همدید زمینی از اطلاعات سنجنده مودیس نیز استفاده شد و با استفاده از مدل‌های رگرسیون خطی، غیر خطی و همچنین، مدل رگرسیون چند متغیره ارتباط بین این پارامترها بررسی گردید.

نتایج نشان داد که چهار پارامتر آبر مورد مطالعه می‌توانند بخش قابل قبولی از تغییرات بارش را در بخش‌های مختلف کشور تشریح کنند. در بین این پارامترها بیشترین تاثیر مربوط به دمای قله آبر است که ۲۰ تا ۳۹ درصد تغییرات بارش کشور را توضیح می‌دهد. این مسئله نشان می‌دهد که در بین عوامل مؤثر در شکل‌گیری بارش، فرایند تراکم بخار آب بیشترین نقش را دارد. البته، کاهش دما تا حد معینی می‌تواند به افزایش بارش منجر گردد و پس از آن کاهش دما نمی‌تواند به افزایش بارش منجر گردد که دلیل آن کاهش سرعت فرآیند تراکم به علت کاهش محتوای بخار آب آبر پس از مدتی بارش است. با کاهش فرایند تراکم که فرایندی گرمایش است، ناپایداری و حرکات همرفتی درون آبر و بنابراین، رشد عمودی و توسعه آن به سطوح بالاتر جو کاهش می‌یابد که خود موجب متوقف شدن کاهش دمای آبر می‌گردد.

در بین چهار پهنه مورد مطالعه در کشور، نتایج به دست آمده در پهنه‌های ۲ و ۳ که شامل مناطق زاگرس، البرز و کوهپایه‌های آنها هستند، قویتر از مناطق دیگر است. دلیل آن می‌تواند قرار گرفتن این مناطق در مسیر اصلی سیکلون‌های مهاجر و توده‌های اصلی هوای ورودی به کشور باشد. به عبارت دیگر، این مناطق بیشتر از مناطق دیگر کشور تحت تاثیر توده‌های هوای متنوع و متفاوت از نظر خصوصیات آبرها قرار دارند.

نتایج این تحقیق نشان داد که هرچند توانایی پارامترها آبر برای برآورده بارش در مناطق مختلف کشور یکسان نیست، اما این پارامترها می‌توانند نقش تعیین کننده‌ای در برآورد مقدار بارش و افزایش کارایی مدل‌های اقلیمی در کشور داشته باشند. به عبارت دیگر، اقلیم سطحی کشور تا حد زیادی متأثر از پارامترهای آبر است. بنابراین، این پارامترها را می‌توان به عنوان شاخص‌های مؤثر در مطالعه تغییرات پارامترهای آب و هوایی کشور به کار برد.

## منابع

- ۱- ایران نژاد، پرویز؛ احمدی گیوی، فرهنگ و محمد نژاد، علیرضا. (۱۳۸۸). «اثر مراکز چرخندزای مدیترانه بر بارش سالانه ایران در دوره ۱۹۶۰ تا ۲۰۰۲»، مجله ژئوفیزیک ایران، ش ۱، صص ۹۱-۱۰۵.
- ۲- بازرگان لاری، عبدالرضا. (۱۳۸۵). رگرسیون خطی کاربردی، انتشارات دانشگاه شیراز. ۳۳۱ صفحه.
- ۳- پورباقر، س.، م. ر. مباشری و م. فرج زاده. (۱۳۸۶). «امکان سنجی استفاده از داده‌های رادیو ساوند و تصاویر ماهواره‌ای MODIS در برآورده آب قابل بارش کلی»، همایش ژئوماتیک تهران، سازمان نقشه برداری کشور، ۱۸۱۹ صفحه.
- ۴- جباری، ایرج. (۱۳۸۵). روش‌های آماری در علوم محیطی و جغرافیا، تهران: انتشارات دانشگاه رازی، ۳۰۳ صفحه.

- ۵- حاجی میر رحیمی، محمود. (۱۳۸۶). ارزیابی تطبیقی مقادیر بارش نظاره شده توسط سنجنده های ماهواره‌ای و رادار هوایشناسی، پایان نامه کارشناسی ارشد سنجش از دور، دانشگاه تبریز، ۱۴۰ صفحه.
- ۶- رحمانی، الهام؛ خلیلی، علی و لیاقت، عبدالمجید. (۱۳۸۷). بررسی کمی تاثیر خشکسالی بر عملکرد محصول جو در آذربایجان شرقی به روش رگرسیونی چند متغیره، فصلنامه علوم و فنون کشاورزی و منابع طبیعی، ش ۴۲، ۲۵-۳۶ صص.
- ۷- رسولی، علی اکبر. (۱۳۸۷ الف). «توزیع مکانی باران‌های رعد و برقی منطقه سیدنی استرالیا»، دومین کنفرانس منطقه‌ای تغییر اقلیم، سازمان هوایشناسی کشور، ۱۳ و ۱۴ آبان. ۲۹۱-۳۱۰.
- ۸- ———. (۱۳۸۷ ب). میانی سنجش از دور کاربردی با تأکید بر پردازش تصاویر ماهواره‌ای، انتشارات دانشگاه تبریز، ۷۷۷ صفحه.
- ۹- صادقی حسینی، سیدعلیرضا؛ حجام، سهراب و تفنگ‌ساز، پوریا. (۱۳۸۴). «ارتباط آب قابل بارش ابر و بارندگی دیدبانی شده در منطقه تهران»، مجله فیزیک زمین و فضا، ش ۲، صص ۱۳-۲۱.
- ۱۰- صادقی حسینی، علیرضا و رضائیان، مهتاب. (۱۳۸۵). «بررسی تعدادی از شاخص‌های ناپایداری و پتانسیل بارورسازی ابرهای همروفتی منطقه اصفهان»، مجله فیزیک زمین و فضا، ش ۲، صص ۸۳-۹۸.
- ۱۱- عساکر، حسین. (۱۳۸۳). «مدل سازی تغییرات مکانی عناصر اقلیمی- مطالعه موردی بارش سالانه استان اصفهان»، فصلنامه تحقیقات جغرافیایی، ش ۷۴، صص ۲۱۳-۲۳۱.
- ۱۲- علیزاده، امین. (۱۳۸۶). اصول هیدرولوژی کاربردی، انتشارات دانشگاه امام رضا، ۸۰۷ صفحه.
- ۱۳- فرشاد فر، عزت الله. (۱۳۸۱). اصول و روش‌های آماری. انتشارات دانشگاه رازی. ۷۳۳ صفحه.
- ۱۴- قاسمی، احمد رضا. (۱۳۹۱). مدل سازی تغییرات زمانی و مکانی پوشش ابری، با تأکید بر روزهای بارش در ایران، رساله دکتری رشته جغرافیای طبیعی گرایش اقلیم‌شناسی. دانشگاه تبریز.
- ۱۵- نجفی، درعلی. (۱۳۸۳). «محاسبه آماری حداقل بارش محتمل ۲۴ ساعته و حداقل آب قابل بارش ایستگاه اصفهان»، دومین کنفرانس دانشجویی منابع آب و خاک دانشگاه شیراز، ۳۷۰ صفحه.
- ۱۶- یاراحمدی، داریوش، عزیزی، قاسم. (۱۳۸۶). «تحلیل چند متغیره ارتباط میزان بارش فصلی ایران و شاخص‌های اقلیمی»، فصلنامه پژوهش‌های جغرافیایی، ش ۶۲، صص ۱۶۱-۱۷۴.
- 17- Adler, R.F. and A.J. Negri. (1988). A satellite infrared technique to estimate tropical convective and stratiform rainfall. *J. Appl. Meteor.*, 27, 30-51.
- 18- Arkin, P.A. and B.N. Meisner. (1987). The relationship between large-scale convective rainfall and cold cloud over the Western Hemisphere during 1982-1984. *Mon. Wea. Rev.*, 115: 51-74.

- 19- Askelson, M. (2007). On the use of satellite cloud top pressure data in the estimation of snowfall occurrence and precipitation rates. 23rd Conference on IIPS.
- 20- Bretherton, H.S., E.P. Matthew and E.B. Larissa. (2004). Relationships between Water Vapor Path and Precipitation over the Tropical Oceans. *J. Climate*. 17:1517-1528.
- 21- Bumrungklang, P., S. Dasananda and D. Sukawat. (2009). An Analysis of Seasonal Thunderstorm Cloud Distribution and Its Relation to Rainfall in Thailand using remotely sen data. *Suranaree J. Sci. Technol.* 17: 71-86
- 22- Field, P.R., A. Gettelman, R.B. Neale, R. Wood, P.J. Rasch. (2008). Midlatitude cyclone compositing to constrain climate model behavior using satellite observations. *J. Climate*, 21: 5887-5903.
- 23- Ghasemi, A.R., D. Khalili. (2008). The Effect of the North Sea-Caspian Pattern on Winter Temperatures in Iran. *Theor. Appl. Climatol*, 92: 59-74.
- 24- Gochis, D. J., S.W. Nesbitt., W. Yu. and S.F. Williams. (2009). Comparison of gauge-corrected versus non-gauge corrected satellite-based quantitative precipitation estimates during the 2004 NAME enhanced observing period. *Atmosfera*. 22: ISSN 0187-6236.
- 25- Hack, J.J., M. Caron, S.G., Yeager, K. Oleson, M. Holland, J. Truesdale, P. Rasch. (2006). Simulation of the global hydrological cycle in the CCSM Community Atmosphere Model version3 (CAM3): Mean features. *J. of Climate*, 19: 2199-2221.
- 26- Hanna, W., D.M. Schultz and A.R. Irving. (2008). Cloud-Top Temperatures for Precipitating Winter Clouds. *J of Appl. Meteorolo. and Climatolo.* 47: 351-359.
- 27- Heymsfield, A.J., S. Matrosov and B. Baum. (2003). Ice Water Path–Optical Depth Relationships for Cirrus and Deep Stratiform Ice Cloud Layers. *J of Appl. Meteorolo.* 42: 1369-1389.
- 28- Heymsfield, A.J., S. Matrosov, B. Baum. (2003). Ice Water Path–Optical Depth Relationships for Cirrus and Deep Stratiform Ice Cloud Layers. *J. of Appl. Meteorolo* 42: 1396-1390
- 29- Hong, G., Yang, p., Bryan, A., B. Andrew, J. Heymsfield, K. Xu. (2009). Parameterization of Shortwave and Longwave Radiative Properties of Ice Clouds for Use in Climate Models. *J. of Climate*, 22: 6287-6312.
- 30- Houze, R. A. (1993). *Cloud Dynamics*. Academic Press, 573 pp.
- 31- Kryjov, V.N. (2002). Relationships between Northern Russia Monthly, Seasonal, and Annual Air Temperatures and Winter Zonal Circulation Indices. *Meteorology and Hydrology*. Moscow 105554.
- 32- Kutiel, H. and S. Paz. (1998). Sea Level Pressure Departures in the Mediterranean and their Relationship with Monthly Rainfall Conditions in Israel. *Theor. Appl. Climatol.* 60: 93-109.
- 33- Lohmann, U. 2010. Applications and needs of clouds & aerosols in GCMs. Berlin. pp 20.
- 34- Maher, P., E.Xoplaki., H.Kutiel. (1999). Wet and dry monthly anomalies across the mediterranean basin and their relationship with circulation, 1860-1990. *Theor. Appl. Climatol.* 64: 189-199.
- 35- Menzel, W.P., R.A. Frey, H. Zhang, D.P. Wylie, C. Moeller, R. Holz, B. Maddux, B. Baum, K. Strabala, and L. Gumley. 2008. MODIS Global Cloud-Top Pressure and Amount Estimation: Algorithm Description and Results. *Journal of applied meteorology and climatology*. 47:1175-1198.
- 36- Rasouli, A. A. (2004). Temporal and spatial study of thunderstorm rainfall in the greather Sydney region. International Conference on Storms. Australia. 272-281.
- 37- Schlesinger, M. E., H. S. Kheshgi, J. Smith, F. C. Chesnaye, J. M. Reilly, T. Wilson, and C. Kolstad. (2007). *Human-Induced Climate Change*. Cambridge University Press. 426 pp.
- 38- Stephenson, T.S., A.A. Chen, M.A. Taylor. (2008). Toward the development of prediction models for the primary Caribbean dry season. *Theor. Appl. Climatol.* 92: 87-101.

- 39- Tsvieli, Y., A. Zangvil. (2005). Synoptic climatological analysis of wet and dry red sea troughs over Israel. Int. J. Climatol. 25: 1997-2015.
- 40- Zeng, X. 1999. The Relationship among Precipitation, Cloud-Top Temperature and Perceptible Water over the Tropics. J. Climate. 12: 2503-2514.

